

هتروزیس در گندم نان از دیدگاه پروتئومیکس

Proteome study of heterosis phenomenon in bread wheat

کیانا کبیر^۱، احد یامچی^{۲*}، حسن سلطانلو^۲، سیده ساناز رمضانپور^۲، علی اصغر نصراله نژاد قمی^۲

۱- دانش آموخته کارشناسی ارشد، گروه اصلاح نباتات و بیوتکنولوژی، دانشگاه علوم کشاورزی و منابع طبیعی گرگان

۲- به ترتیب استادیار، دانشیاران، استادیار، گروه اصلاح نباتات و بیوتکنولوژی، دانشگاه علوم کشاورزی و منابع طبیعی گرگان

Kabir K¹, Yamchi A^{*2}, Soltanloo H², Ramezanpour SS², Nasrollahnejad Ghomi AA²

1- Graduate MSc Student, Department of Plant Breeding and Biotechnology, Gorgan University of Agricultural Sciences and Natural Resources

2- Assistant Professor, Associate Professors, Assistant Professor, Department of Plant Breeding and Biotechnology, Gorgan University of Agricultural Sciences and Natural Resources

* نویسنده مسئول مکاتبات، پست الکترونیکی: yam12001@yahoo.com

(تاریخ دریافت: ۱۳۹۳/۱۱/۲۳ - تاریخ پذیرش: ۱۳۹۶/۲/۳۱)

چکیده

گندم نان از مهم ترین گیاهان زراعی به شمار می رود و ارقام هیبرید آن نقش مهمی را در عرضه غذای جهان ایفا می کنند. تفاوت معنی دار بعضی از صفات در هیبرید نسبت به والدین در نتیجه بروز پدیده هتروزیس می باشد. این پدیده توسط ژن ها کنترل می شود که شناسایی آن ها از دیدگاه ملکولی در پروژه های اصلاح گیاهان از اهمیت زیادی برخوردار است. هدف از انجام این تحقیق شناسایی پروتئین های دخیل در پدیده هتروزیس در گندم نان به کمک پروتئومیکس می باشد. بدین منظور، سه رقم زاگرس، N8118 و هیبرید حاصل از آن ها در ایستگاه تحقیقات کشاورزی گرگان در سه تکرار و در قالب طرح بلوک کامل تصادفی مورد کشت قرار گرفتند. داده های آزمایشی وجود اختلاف معنی داری را در صفات طول ساقه و طول سنبله در هیبرید نسبت به والدین نشان داد. هم چنین نتایج حاصل از تجزیه پروتئوم گیاهان نشان داد که بیان یک لکه پروتئینی در والد زاگرس نسبت به هیبرید و والد N8118 در موقعیت مکانی ژل (Shift position) تغییر کرده است. طیف سنجی جرمی مشخص کرد که این لکه مربوط به پروتئین cytochrome b6/f complex می باشد و نقش کلیدی در مسیر تولید NADPH و ATP در فرایند فتوسنتز دارد.

واژه های کلیدی

پروتئومیکس
گندم نان
هتروزیس
هیبرید

مقدار ۲۰۰ میلی‌گرم از بافت برگ پرچم ارقام زاگرس، N8118 و هیبرید حاصل از آن‌ها در هاون‌های چینی جداگانه، با استفاده از ازت مایع، پودر و به تیوب‌های مجزا منتقل شدند. استخراج پروتئین با روش تغییر یافته Damerval et al. (1986) انجام شد (Yamchi 2010). برای سنجش مقدار پروتئین از کیت (GE Healthcare) 2D Quant و بر اساس دستورالعمل کیت استفاده شد. برای تعیین غلظت پروتئین از دستگاه اسپکتوفوتومتر با طول موج جذب ۴۸۰ نانومتر برای نمونه‌ها استفاده شد.

نوارهای خشک (18 cm 3-11 NL, immobline dry strip,) IPG (Amersham Bioscience) در ۳۰۰ میکرولیتر بافر لیز کننده حاوی ۲۰۰ میکروگرم پروتئین در دستگاه (GE Healthcare) IPGphor در ۲۰ درجه سانتی‌گراد بدون جریان الکتریکی به مدت ۱۲ ساعت قرار گرفتند. سپس دستگاه روشن شده و برای تثبیت لکه‌های پروتئین^۱ از برنامه زیر در دستگاه IPGphor استفاده شد: ۳۰۰ ولت به مدت ۲ ساعت، ۵۰۰ ولت به مدت ۲ ساعت، ۱۰۰۰ ولت به مدت ۲ ساعت و افزایش تدریجی ولتاژ تا ۸۰۰۰ ولت در عرض ۵ ساعت و نهایتاً در ۸۰۰۰ ولت به مدت ۶۰۰۰ ولت ساعت تنظیم شد (Yamchi 2010). نوارهای IPG بعد از الکتروفورز بعد اول به مدت ۱۵ دقیقه در بافر اشباع (Urea 6M, Tris-cl 50 mM pH 8.8, DTT 1%, SDS 2%, glycerol 30%, a trace of bromophenol blue) قرار گرفته سپس برای ۱۵ دقیقه دیگر در همان بافر ولی با جایگزینی آیدواستامید ۲/۵ درصد به جای DTT قرار گرفتند. سپس نوارهای IPG به بالای ژل‌های SDS-PAGE با غلظت ۱۲/۵ درصد اکریل آمید منتقل شد و در جریان ثابت ۳۰ میلی‌آمپر به مدت ۳۰ دقیقه و سپس ۱۰۵ میلی‌آمپر به مدت ۴ ساعت برای ۳ ژل SDS-PAGE در ۲۰ درجه سانتی‌گراد الکتروفورز شد (Yamchi 2010). در مرحله بعد ژل‌های SDS-PAGE در محلول رنگ‌آمیزی حاوی Colloidal CBB G-250 رنگ شدند (Candiano et al. 2004). برای این کار ژل‌ها ابتدا در محلول تثبیت (methanol 40%, acetic acid 10%) به مدت یک ساعت قرار گرفتند و بعد از آن به مدت ۳۰ دقیقه در آب دو بار تقطیر شستشو شدند و سپس برای ۳۰ ساعت در محلول رنگ (ammonium sulphate 10%, methanol 20%,)

¹ Focusing

نتایج

بسیار معنی داری به ترتیب در سطح پنج و یک درصد وجود دارد، اما بین ژنوتیپ‌ها در صفات تعداد سنبلچه، وزن هر سنبله، تعداد دانه در سنبله، وزن دانه‌های هر سنبله، وزن ۱۰۰ دانه، بیوماس اختلاف معنی داری مشاهده نشد (جدول ۱).

به منظور بررسی پدیده هتروزیس، تجزیه واریانس پارامترهای مورفولوژی رشد انجام شد. نتایج حاصل از تجزیه واریانس نشان داد که بین ژنوتیپ‌ها در صفات طول ساقه و طول سنبله اختلاف

جدول ۱- تجزیه واریانس پارامترهای مورفولوژی رشد در گیاه گندم

میانگین مربعات صفات اندازه گیری شده									
منبع تغییرات	درجه آزادی	طول ساقه	طول سنبله	تعداد سنبلچه	وزن هر سنبله	تعداد دانه در سنبله	وزن دانه هر سنبله	وزن ۱۰۰ دانه	بیوماس
ژنوتیپ	۶	۶۱/۴۷۶*	۳/۷۹۰**	۴/۰۵۳ ^{ns}	۱۷/۶۶۶ ^{ns}	۱۲۳/۹۷۶ ^{ns}	۰/۴۱۶ ^{ns}	۰/۲۸۳ ^{ns}	۴۷/۵۹۵ ^{ns}
خطا	۱۴	۱۸/۹۷۲	۰/۶۵۰	۲/۶۹۶	۱۹/۰۱۹	۱۳۸/۷۸۷	۰/۳۳۰	۰/۲۴۱	۴۰/۲۳۳

^{ns}، * و ** به ترتیب غیر معنی دار، معنی دار در سطح پنج درصد معنی دار در سطح یک درصد

جدول ۲- مقایسه میانگین چند دامنه‌ای دانکن (α=5%) برای صفات اندازه‌گیری شده

ژنوتیپ	طول ساقه	طول سنبله	تعداد سنبلچه	وزن هر سنبله	تعداد دانه سنبله	وزن دانه سنبله	وزن ۱۰۰ دانه	بیوماس
N8019	۴۷/۹۷±۳/۱۹ ^{abc}	۱۰/۷۷±۱/۱۲ ^a	۱۷/۶۶±۲/۲۷ ^a	۱۶/۹۷±۵/۲۳ ^a	۶۲/۰۹±۱۵/۸۵ ^a	۲/۰۹±۱/۰۸ ^{ab}	۳/۲۵±۰/۰۹ ^{ab}	۲۵/۶۶±۴/۷۲ ^a
N8118	۵۳/۴±۰/۷۳ ^{ab}	۷/۸۶±۰/۵۲ ^c	۱۵/۶۶±۰/۵۱ ^{ab}	۱۲/۰۸±۱/۵۶ ^{ab}	۵۴/۰۶±۵/۶۶ ^a	۱/۹۴±۰/۲۳ ^{ab}	۳/۵۹±۰/۰۷ ^{ab}	۱۹/۵۴±۱/۳۹ ^a
تجن	۴۱/۸۳±۴/۲۷ ^{cb}	۱۰/۳۶±۰/۰۷ ^{ab}	۱۵/۰۰±۱/۲۸ ^{ab}	۱۰/۳۱±۳/۵۷ ^a	۵۰/۴۰±۷/۴۹ ^a	۱/۷۰±۰/۳۴ ^{ab}	۳/۳۰±۰/۲۱ ^{ab}	۱۳/۲۴±۴/۳۰ ^a
نجن×N8019	۴۹/۱۱±۲/۱۲ ^{abc}	۱۰/۳۰±۰/۴۲ ^{ab}	۱۶/۷۳±۰/۸۶ ^{ab}	۱۵/۰۳±۲/۵۱ ^a	۶۶/۲۹±۲/۱۱ ^a	۲/۶۲±۰/۱۲ ^a	۳/۹۵±۰/۱۸ ^a	۲۰/۸۳±۴/۳۹ ^a
زاگرس	۴۵/۲۳±۰/۷۸ ^{bc}	۸/۹۵±۰/۶۶ ^{bc}	۱۴/۲۲±۰/۸۴ ^b	۱۲/۰۸±۲/۶۸ ^a	۵۰/۰۵±۱۰/۸۱ ^a	۱/۴۸±۰/۲۸ ^b	۲/۹۸±۰/۰۸ ^b	۱۹/۷۴±۳/۹۴ ^a
زاگرس×N8019	۴۴/۶۰±۳/۶۳ ^c	۸/۲۶±۰/۲۷ ^c	۱۵/۲۰±۱/۰۳ ^{ab}	۱۱/۲۴±۱/۰۷ ^a	۵۰/۵۰±۴/۶۷ ^a	۱/۶۷±۰/۲۱ ^{ab}	۳/۲۷±۰/۱۲ ^{ab}	۱۶/۲۸±۲/۱۷ ^a
زاگرس×N8118	۵۳/۹۴±۱/۹۲ ^a	۹/۷۸±۰/۳۴ ^{ab}	۱۶/۲۹±۰/۱۹ ^{ab}	۱۰/۹۶±۲/۳۰ ^a	۵۷/۰۴±۲/۹۰ ^a	۱/۹۶±۰/۲۵ ^{ab}	۳/۳۹±۰/۴۲ ^{ab}	۱۶/۵۰±۳/۳۰ ^a

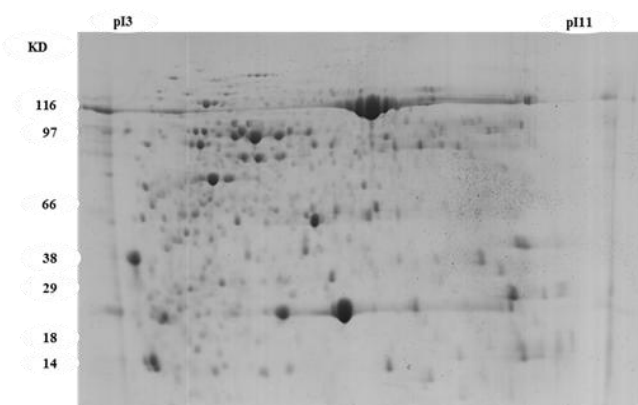
جدول ۳- خصوصیات کمی لکه پروتئینی با بیان افتراقی و مقایسه درصد حجمی آن در الگوی پروتئوم هیبرید و والدین گندم نان بدست آمده از نرم‌افزار Image master 2D platenium

Spot ID	Genotype	pI	MW	Intensity	Area	Vol%	Intensity%	Ratio	
								Vol% Hybrid/ Vol% Zagros	Ratio Vol% Hybrid/ Vol% N8118
1	زاگرس	5.5	23.4	15788	15.4	0.54	0.47	-	-
1	N8118	5.7	23.4	18320	10	0.43	0.60	-	-
1	هیبرید	5.7	23.4	18452	14	0.50	0.77	0.9	1.1

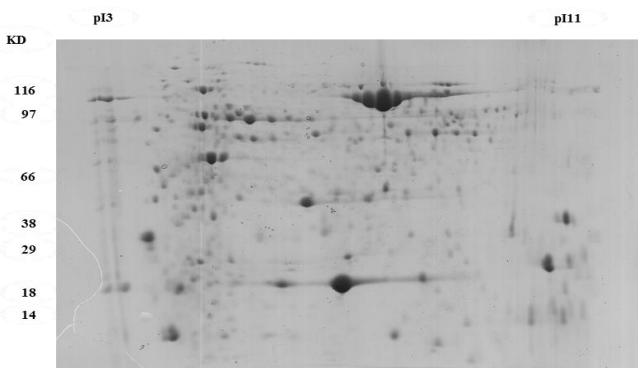
جدول ۴- شناسایی لکه پروتئینی بافت برگ پرچم گیاه از طریق طیف‌سنجی جرمی (MALDI/MS)

Sample	Database	Accession	MW	Name	Mascot score	Peptides	Sc%	RMS(ppm)	RMS90(ppm)	Rank
1	NCBIplanta	Gil2695939	9.75	Cytochrome b6/f complex	218.0	6	49.5	25.8	25.8	1

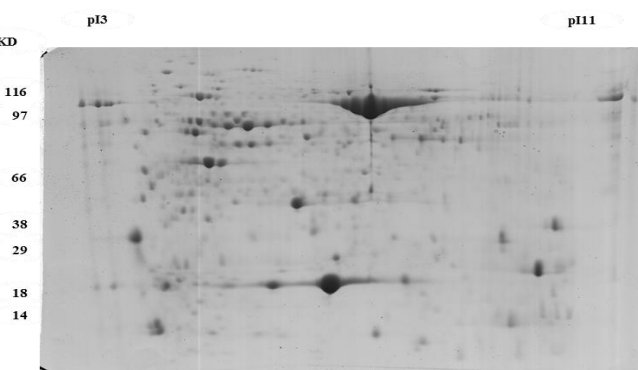
Mascot از طریق انگشت‌نگاری جرمی مقایسه شش قطعه پپتیدی حاصل از پروتئین هدف را با تمام پروتئین‌های موجود در بانک اطلاعاتی NCBI انجام داده و با امتیاز ۲۱۸ پروتئین cytochrome b6/f complex شناسایی کرد (جدول ۴). قابل ذکر است که لکه پروتئینی مذکور از هر سه ژل مربوط به هیبرید و والدین در طیف‌سنجی جرمی به‌عنوان پروتئین cytochrome b6/f complex شناسایی شدند.



شکل ۱- الگوی پروتئوم بافت برگ در رقم والد زاگرس



شکل ۲- الگوی پروتئوم بافت برگ در رقم والد N8118

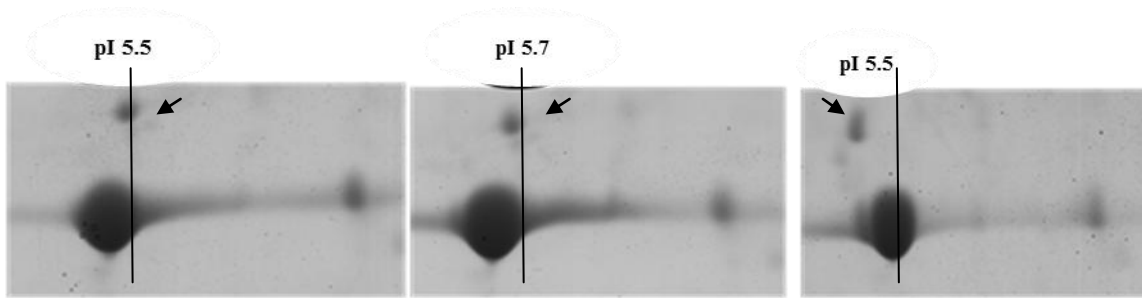


شکل ۳- الگوی پروتئوم بافت برگ پرچم هیبرید حاصل از N8118 و زاگرس

نتایج حاصل از مقایسه میانگین بین ژنوتیپ‌ها نشان داد که بین هیبرید زاگرس* N8118 و والد زاگرس در صفت طول ساقه اختلاف معنی‌داری وجود دارد و بین همین هیبرید و والد N8118 نیز در صفت طول سنبله اختلاف معنی‌داری وجود دارد، این اختلاف معنی‌دار بین هیبرید و والدین بیانگر هتروزیس موجود در این صفات می‌باشد (جدول ۲).

برای شناسایی تفاوت بیان پروتئین‌های مرتبط با پدیده هتروزیس از بافت برگ پرچم در زمان ظهور سنبله کامل نمونه‌گیری به عمل آمد. نقشه پروتئوم (2D-PAGE) گیاهان والد و هیبرید حاصل از آن‌ها به صورت جداگانه با هم مقایسه شدند. لکه‌های تکرارپذیر نقشه پروتئوم هر گروه در دو تکرار بیولوژیک Image master 2D (Amersham Bioscience) ver.6 در دو بعد برای خصوصیات pI از محدوده ۳ تا ۱۱ و وزن مولکولی از محدوده ۱۰ تا ۱۰۰ کیلو دالتون قابل مشاهده هستند (شکل‌های ۱ و ۲ و ۳). به کمک نرم‌افزار Image master 2D و روش استخراج پروتئین استفاده شده در تحقیق تعداد ۱۰۰۰ لکه در ژل دو بعدی ردیابی شد و سپس خصوصیات کمی لکه پروتئینی با بیان افتراقی از جمله درصد حجمی لکه‌ها (V%) که بیانگر میزان بیان پروتئین می‌باشد، به کمک نرم‌افزار در الگوی پروتئوم هیبرید نسبت به والدین محاسبه شد (جدول ۳). مقایسه ژل الکتروفورز حاصل از دو رقم والد زاگرس و N8118 و هیبرید آن‌ها در دو تکرار بیولوژیک به کمک نرم‌افزار نشان داد که یک لکه پروتئینی در ژل دو بعدی رقم والد N8118 و هیبرید با نقطه ایزوالکتریک ۵/۷ قرار گرفته ولی همان لکه پروتئینی در رقم والد زاگرس با نقطه ایزوالکتریک ۵/۵ به طرف pH اسیدی تغییر مکان داده‌است (شکل ۴). نسبت مقایسه میانگین درصدهای حجمی لکه پروتئینی مذکور در سه ژل از طریق آزمون t-student در دو تکرار نشان داد که این لکه‌های پروتئینی از لحاظ میزان بیان پروتئین بین هیبرید و دو والد اختلاف معنی‌داری نداشتند (جدول ۳).

لکه پروتئینی با موقعیت نقطه ایزوالکتریک متفاوت در هیبرید و والدین که در هر مورد دو تکرار بیولوژیک تکرار پذیر بود از هر سه ژل مربوط به هیبرید و والدین جداسازی و از طریق طیف‌سنجی جرمی به روش MALDI/MS شناسایی شد. قطعات پپتیدی حاصل از طیف‌سنجی جرمی شش قطعه بود که نرم‌افزار



شکل ۴ - مقایسه الگوی پروتئوم بافت برگ در سه رقم زاگرس (سمت راست)، هیبرید (سمت چپ) و N8118 (وسط)

بحث

و یکی از والدین مشابه و از والد دیگر متفاوت بود. هم‌چنین قابل ذکر است که به دلیل امکان بررسی تغییرات بعد از ترجمه در آزمایشات پروتئومیکس که در آزمایشات ترنسکریپتوم امکان‌پذیر نیست، یک الگوی اضافه هفتم نیز در این تحقیق به دست آمد که در این الگو تفاوت لکه‌های پروتئینی نه از لحاظ بیان کاهشی یا افزایشی بلکه از لحاظ موقعیت مکانی مرتبط با نقطه ایزوالکتریک و وزن مولکولی لکه‌ها می‌باشد (Thiellement et al. 2002). پروتئین‌های *cyt b6/f* و *ATP* سنتاز جز اجزای کلیدی جهت تولید *NADPH* و *ATP* برای تثبیت CO_2 در فتوسنتز می‌باشند. *ATP* و *NADPH* تولیدی به وسیله واکنش‌های نوری، در چرخه کالوین و چرخه تنفس نوری مورد استفاده قرار می‌گیرند. به طوری که با کاهش فعالیت *cyt b6/f* میزان انتقال الکترون در زنجیره تنفس نوری کاهش می‌یابد و با این کاهش، میزان فتوسنتز و عملکرد کاهش خواهد یافت (Price et al. 1995; Ruuska et al. 2000; Von Cammerer et al. 2010). هنوز مکانیسم دقیق مولکولی تنظیم‌کننده هتروزیس مشخص نیست اما احتمالاً کنترل اپیزنتیک مانند متیلاسیون (Finnegan et al. 1998) DNA، استیلاسیون هیستون‌ها (Chen et al. 2000) و دلایل دیگر در این فرآیند دخالت دارد. در صورت افزایش اطلاعات مولکولی در مورد پدیده هتروزیس و در پی آن شناسایی ژن‌های مربوط به آن با کمک روش پروتئومیکس می‌توان پدیده هتروزیس را با دیدگاه مولکولی و مؤثر در پروژه‌های اصلاح واریته‌های گندم با تمرکز بر اکثر صفات زراعی و فیزیولوژیک که پدیده هتروزیس را نشان می‌دهند، وارد کرد.

در این تحقیق، بررسی پدیده هتروزیس به صورت مورفولوژیکی در صفات مختلف اندام‌های ریشه و بخش‌های هوایی گیاه صورت گرفت. مقایسه میانگین انجام شده بین ژنوتیپ‌ها نشان داد که بین هیبرید حاصل از تلاقی بین زاگرس و N8118 و والد زاگرس در صفت طول ساقه و بین این هیبرید و والد N8118 در صفت طول سنبله اختلاف معنی‌داری وجود دارد، این اختلاف معنی‌دار بین هیبرید و والدین می‌تواند بیانگر هتروزیس در این صفات باشد. در تحقیقات قبلی نیز اثر هتروزیس بر روی برخی از صفات گیاه گندم از جمله طول سنبله، تعداد سنبلچه در سنبله، تعداد دانه در سنبله، محصول دانه هر سنبله و بیوماس مشابه نتایج این تحقیق گزارش شده است (Sun et al. 2004). هم‌چنین Ramezani et al. (2010) اثر هتروزیس در مقاومت به قارچ سپتوریا را در هیبرید برخی ژنوتیپ‌ها نسبت به والدین در گیاه گندم نشان دادند. (Sun et al. 2004) در طی بررسی اثر هتروزیس بر روی الگوی ترنسکریپتوم گیاه گندم از طریق تکنیک DDRT-PCR تغییرات بیان ژن‌ها در سطح mRNA در گیاه هیبرید نسبت به والدین را در شش نوع الگو نشان دادند. یکی از این الگوها، بیان بالای ژن در هیبرید و یکی از والدین نسبت به والد دیگر بود که مشابه این نوع الگو در این تحقیق نیز دیده شد با این وصف که به جای الگوی mRNA، الگوی پروتئین آن‌ها در هیبرید نسبت به والدین مقایسه شد و هم‌چنین به جای کاهش و افزایش بیان ژن، موقعیت لکه پروتئینی (*cytochrome b6/f* complex) از لحاظ نقطه ایزوالکتریک و وزن مولکولی در هیبرید

منابع

- Yamchi A, Zareie SR, Mirlohi A, Gentzmittel L, Tabatabaei BA, Omidi K (2009). Evaluation of gene expression changes in barrel medic in response to *Ralstonia solanacearum*. *Modern Genetics*. 19: 5-26. (In Farsi).
- Alam M, Khan M, Nuruzzaman M, Parvez S, Swaraz A, Alam I, Ahsan N (2004) Genetic basis of heterosis and inbreeding depression in rice (*Oriza sativa L.*). *Journal of Zhejiang University (Science)*. 5: 4. 406-411.
- Branlard G, Lesage V, Bancel E, Martre P, Méleard B, Rhazi L (2015) Coping with Wheat Quality in a Changing Environment: Proteomics Evidence for Stress Caused by environmental changes. *From genome to field*. Chapter 28: 255-264.
- Brichler J, Donald L, Riddle N (2003) In search of molecular basis of heterosis. *Plant cell*. 15: 2236-2239.
- Candiano G, Bruschi L, Santucci G, Ghiggeri B, Carnemolla P, Orecchia L, Zardi P (2004) Blue silver: a very sensitive colloidal coomassie G-250 staining for proteome analysis. *Electrophoresis*. 25: 1327-1333.
- Chandler V, Vaucheret H (2001) Gene activation and gene silencing. *Plant Physiology*. 125: 145-148.
- Chinnasamy G, Rampitch C (2006) Efficient solubilization buffers for two dimensional gel electrophoresis of acidic and basic proteins extracted from wheat seeds. *Biochimica et Biophysica Acta* 1764: 641-644.
- Damerval C, devienne M, Zivy H. Thiellement (1986) Technical improvements in two dimensional electrophoresis increase the level of genetic variation detected in wheat-seedling proteins. *Electrophoresis*. 7: 52-54.
- Finnegan E, Genger R, Peacock W, Dennis E (1998) DNA methylation in plants, *Annu. Rev. Plant Physiology. Plant Molecular Biology*. 49: 223-247.
- Guan W, Ferry N, Edwards M, Bell H, Othman H, Gatehouse J, Gatehouse A (2015) Proteomic analysis shows that stress response proteins are significantly up-regulated in resistant diploid wheat (*Triticum monococcum*) in response to attack by the grain aphid (*Sitobion avenae*). *Mol Breeding*. 35-57.
- Gygi SP, Rochon Y, Franza BR, and Aebersold R (1999) Correlation between protein and mRNA abundance in yeast *Molecular and Cellular Biology*. 19: 1720 -1730.
- Hemdane S, Jacobs P, Dornez E, Verspreet J, Delcour J, Courtin C (2015). Wheat (*Triticum aestivum L.*) Bran in Bread Making: A Critical Review. *Comprehensive reviews in food science and food safety*.15.
- Huang L, Raats D, Sela H, Klymiuk V, Lidzbarsky G, Feng L, Krugman T, Fahima T (2016) Evolution and Adaptation of Wild Emmer Wheat Populations to Biotic and Abiotic Stresses. *Phytopathology*. 54:279-301.
- Kwon S, Seok Bae M, Cho E, Park O (2007) Role of the methionine sulphoxide reductase *mrb3* in cold acclimation in *arabidopsis*. *Plant and Cell Physiology* 48: 1713-1723.
- Munns R (2005) *Genes and Salt Tolerance: Bringing them Together*. *New Phytol*. 167: 645-663.
- Pandey A, Chakraborty S, Datta A, and Chakraborty N (2008) Proteomics Approach to Identify Dehydration Responsive Nuclear Proteins. *Molecular and Cellular Proteomics* 4:2437-2447.
- Paschold A, Marcon C, Hoecker N, Hochholdinger F (2009) Molecular dissection of heterosis manifestation during early maize root development. *Springer* 120:383-388.
- Price GD, Yu J, Von Cammerer S, Evans JR, Chow WS, Anderson JM, Hurry V, Badger MR (1995) Chloroplast cytochrome b6/f and ATP synthase complexes in tobacco: transformation with antisense RNA against nuclear-encoded transcripts for the Rieske FeS and ATP polypeptides. *Plant Physiology* 22: 285-297.
- Ramezanpour S, Vakili SH, Soltanloo H, Kia SH, Kalate arabi, M (2010). Estimation of combining abilities and heterosis of *S.tritici* blotch resistance in wheat genotypes. *Australian Journal of Crop Science* 4: 480-484.
- Ruuska SA, Andrews TJ, Badger MR, Von Cammerer S (2000) The role of chloroplast electron transport and metabolites in modulating Rubisco activity in tobacco: insights from transgenic plants with reduced amounts of cytochrome b6/f complex or glyceraldehydes 3-phosphate dehydrogenase. *Plant Physiology* 122:491-504.
- Salekdeh GH, Siopongco J, Wade L, Ghareyazie B, Bennett J (2002) A proteomic approach to analyzing drought- and salt-responsiveness in rice. *Field Crops Research* 76:199-219.
- Song J, Braun G, Bevis E, Doncaster K.(2006) A simple protocol for protein extraction of recalcitrant fruit tissues suitable for 2-DE and MS analysis. *Electrophoresis* 27: 3144-3151.
- Song X, Ni Z, Yao Y, Xie C, Li Z, Wu H, Zhang Y, Sun Q (2007) Wheat root proteome and differentially expressed root proteins between hybrid and parents. *Proteomics* 7: 3538-3557.
- Sun Q, Wu L, Ni Z, Meng F, Wang Z, Lin Z (2004) Differential gene expression patterns in leaves between hybrids and parental inbreds are correlated with heterosis in wheat diallel cross. *Plant science*. (166) 652- 657.
- Thiellement H, Zivy M, Plomion C (2002) Combining proteomic and genetic studies in plants. *Journal of Chromatography* 782: 137-149.
- Tian Q, Stepaniants SB, Mao M, Weng L, Feetham MC, Doyle M J, Yi EC, Dai HY, Thorsson V, Eng J, Goodlett D, Berger JP, Gunter B, Linseley PS, Stoughton RB, Aebersold R, Collins SJ, Hanlon WA, and Hood LE (2004) Integrated genomic and proteomic analyses of gene expression in mammalian cells. *Molecular and Cellular Proteomics* 3: 960-969.
- Von Cammerer S, Evans JR (2010) Enhancing C3 photosynthesis. *Plant Physiology* 154:589-592